## 可變頻高感度矽晶麥克風

蘇茂舜<sup>1</sup> 郭宗德<sup>2</sup> 蕭清松<sup>3</sup> <sup>1</sup>電子所 副工程師 <sup>2</sup>電子所 研究員<sup>3</sup>能資所 研究室主任

單位名稱:工業技術研究院

地址:新竹縣竹東鎮中興路4段195號11館電話:(03)5912248 Fax:(03)5820379

E-mail: <u>mssu@itri.org.tw</u>

#### 摘 要

本論文係探討以微機電製程,製作一個可變頻高感度的凝縮式矽晶麥克風,本技術結構的特點在於麥克風下電極板的外環加偏壓後,可將上電極板往下拉,於是頻帶以及截止頻率為可調的,而由於外環的偏壓,使得上電極板本身的邊界條件改變,可以符合低頻的需求。

This paper discusses about using MEMS process to make a variable frequency and high sensitivity condenser microphone. The distinguishing feature of this technique is applying a bias voltage on the outer-ring of the lower electrode plate, thus making variable frequency bandwidth and cut-off frequency. The bias voltage of outer-ring also can change the boundary condition of upper electrode plate, so that this can satisfy the low frequency requirements.

關 鍵 字:1.凝縮式麥克風 2.頻率響應 3.薄膜張力

Keywords: 1. Condenser Microphone 2. Frequency response 3. Membrane stress

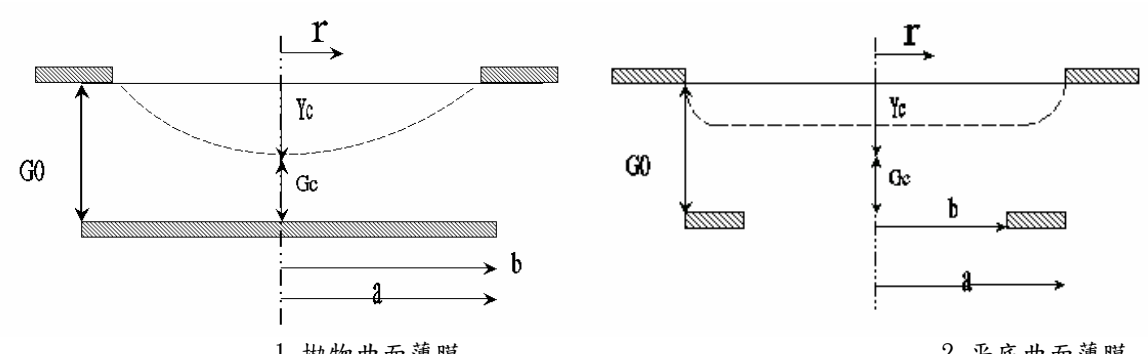
## 壹、前言

人耳對聲音的反應,僅拘限在某一頻率範圍,經由麥克風則可以感測到不同頻率範圍的聲音。市面上常見的傳統式麥克風,無法偵測較為低頻的聲音,例如:機器的低頻震動、心臟瓣膜的閉合聲、血液於血管之紊流聲以及骨骼摩擦韌帶的聲響。利用微機電系統技術所製作之矽晶麥克風,有別於傳統式麥克風,可大幅降低成本、微小化及提升靈敏度,進而增加麥克風在工業、醫療、環保等領域的應用,矽晶麥克風大致可分為壓電式、壓阻式及電容式麥克風三種。其中,電容式矽晶麥克風,因具有較高的靈敏度與較低功率消耗,已成為目前發展的主流。

本文探討一種可變頻高感度矽晶電容麥克風,具有可調整偵測頻帶範圍的功能,也可用於偵測物理界的低頻訊號,並藉由薄膜與背板接觸面的增加及偏壓下的扁平形狀,可達成以下的優點:1. 電容值增加且可變 2. 靈敏度變好 3. 均勻的頻率響應 4. 基頻變低且為可變 5. 截止頻率降低且可變 6. 結構外型設計較簡單。

## 貳、原理

一、拋物面靈敏度分析



1. 抛物曲面薄膜

2. 平底曲面薄膜

Y 是薄膜形成抛物面曲線的路徑方程式, Yc 是薄膜中心最大位移量

$$\frac{Y}{Y_C}\Big|_{b=a} = 1 - \frac{r^2}{a^2} \qquad ; \qquad \qquad Y_C\Big|_{b=a} = \frac{pa^2}{4\delta t}$$

$$p = \frac{F_V}{\pi b^2} \qquad ; \qquad \qquad F_V = \frac{1}{2}V^2 \frac{\varepsilon A}{G_C^2}$$

b: 背板半徑 a: 薄膜半徑 Gc: 薄膜中心與背板距離 p: 單位面積靜電力 δ:張力 t:薄膜厚度 A:面積 Fv:静電力 GO:兩板間距

由於薄膜形成拋物面曲線,所以薄膜有效面積( Effective Area)

所以由聲壓產生的電容變化量 
$$C_{t0} = \frac{\varepsilon A}{G_0 - Y_C} \frac{1}{2} = \frac{\varepsilon A}{G_0 - \frac{pa^2}{4S_C + t}} \frac{1}{2}$$

系統轉移函數為

$$M_{e} = \left| \frac{e_{0c}}{y} \right| = \frac{E_{0}}{h} \left[ 1 + \frac{C_{i} + C_{s}}{C_{t0}} \right]^{-1} = \frac{E_{0}}{h} \frac{C_{t0}}{C_{t0} + C_{i} + C_{s}}$$

Ci : 前置放大器輸入電容; Cto : 聲壓產生的電容變化量; Cs:雜散電容 此系統可看成一高通濾波器形式,所以由頻率響應可知截止頻率

$$fc = \frac{1}{2\pi RC}$$
 (R=RC//Ri C=Ct0+Ci+Cs)

Ri:前置放大器內阻;Rc:麥克風內阻

 $f = \frac{1}{2\pi} \sqrt{\frac{1}{C_{ME} M_{MF}}}$ 而薄膜的基頻

Cme:有效機械容值; Mme:有效質量

$$M_{ME} = \frac{1}{2}\pi a^2 \rho t$$
  $\rho:$  薄膜密度

二、平底曲面靈敏度分析

$$Y = \frac{pb^{2}}{2\sigma t} \ln r - \frac{p}{2\sigma t} \frac{1}{2} r^{2} - \frac{pb^{2}}{2\sigma t} \ln a + \frac{p}{2\sigma t} \frac{1}{2} a^{2} = \frac{p}{4\sigma t} \left( a^{2} - b^{2} \right)$$

$$Y_C \bigg|_{r=b} = \frac{p(a^2 - b^2)}{4\delta t}$$

有效面積  $S = \frac{1}{2}\pi b^2$  (若 b/a=0.95 則  $S = 0.9025\pi a^2$ )

所以由聲壓產生的電容變化量 
$$C_{t0} = \frac{0.9025 \epsilon A}{G_0 - Y_C} = \frac{0.9025 \epsilon A}{G_0 - \frac{p}{4 \sigma t} \left(a^2 - b^2\right)}$$

比較有無外環時的方程式可知,分母越小越好,所以:

$$G_0 - \frac{p}{4\sigma t} \left( a^2 - b^2 \right) \quad \langle G_0 - \frac{pa^2}{4\delta} \right)$$

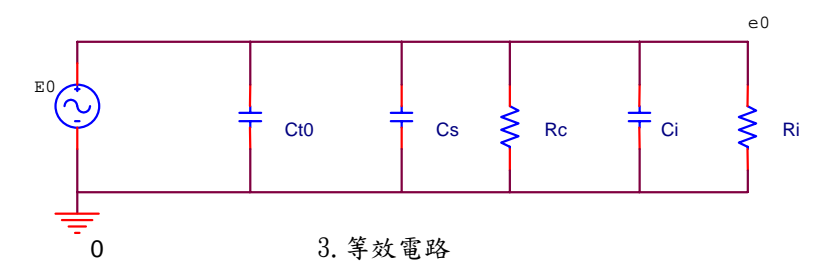
$$\Rightarrow V_1^2(a^2-b^2) > V_2^2a^2$$

V1為外環極化電壓,V2為內環感測電壓

系統轉移函數為

$$M_{e} = \left| \frac{e_{0c}}{y} \right| = \frac{E_{0}}{h} \left[ 1 + \frac{C_{i} + C_{s}}{C_{t0}} \right]^{-1} = \frac{E_{0}}{h} \frac{C_{t0}}{C_{t0} + C_{i} + C_{s}}$$

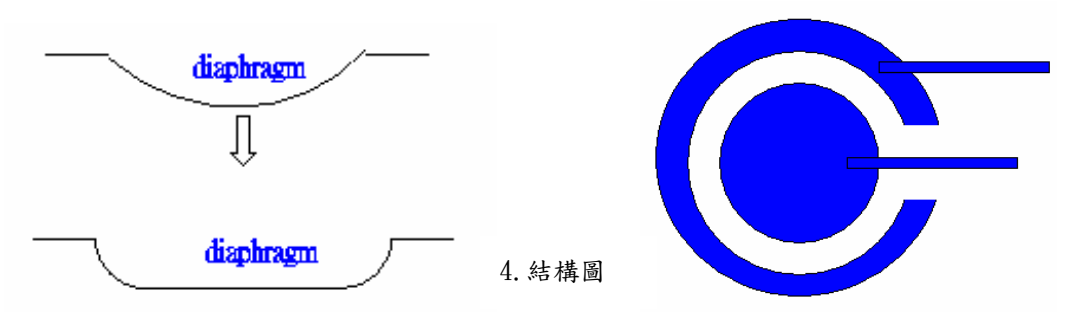
$$M_{MF} = 0.9025\pi a^{2} \rho t$$



參、製作程序

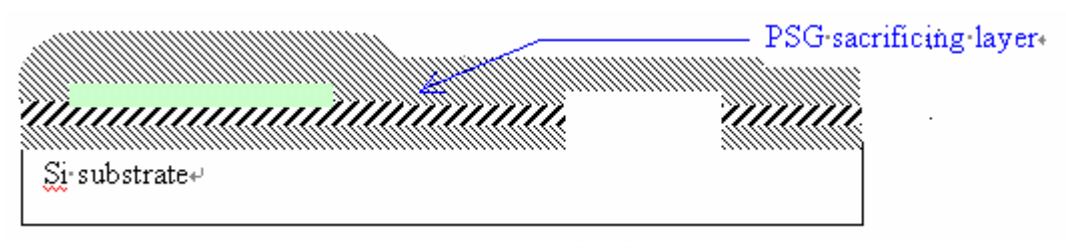
#### 一、結構設計

此電極板結構如下圖所示,而下電極板分為外環及感測電極板,當外環有一外加偏壓時,會使得上電極板往下運動,所以Cto值可因外加偏壓大小而變動,所以Ct(t)也會因為外加偏壓大小而變動,有了外框,Cto才能增加,截止頻率才會變低,所以頻寬變寬。



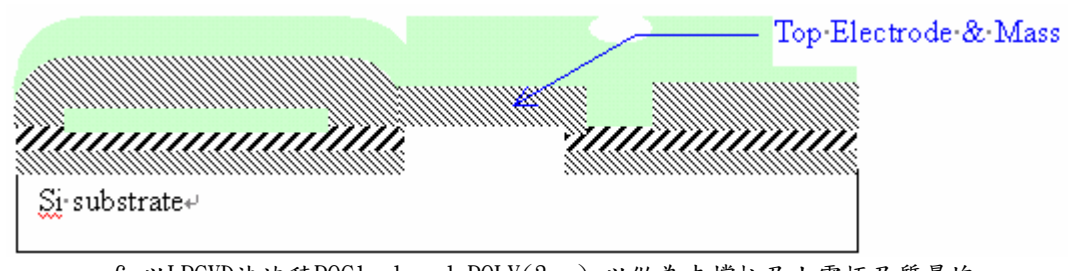
## 二、製作流程

- 1. 洗淨,以 LPCVD 法成長 SiO2(1µm),做為絕緣層。
- 2. 以 LPCVD 法成長 SiN(1000Å), 做為保護層。
- 3. 開洞保護層,以利未來蝕刻犧牲層。
- 4. 以LPCVD法成長POCl3-doped POLY(2µm),做為PAD下電極板。
- 5. Maskl 微影及 ECR poly-Si etching 定義 PAD 及下電極板。
- 6. 以 LPCVD 法成長 PSG(3μm), 做為犧牲層。



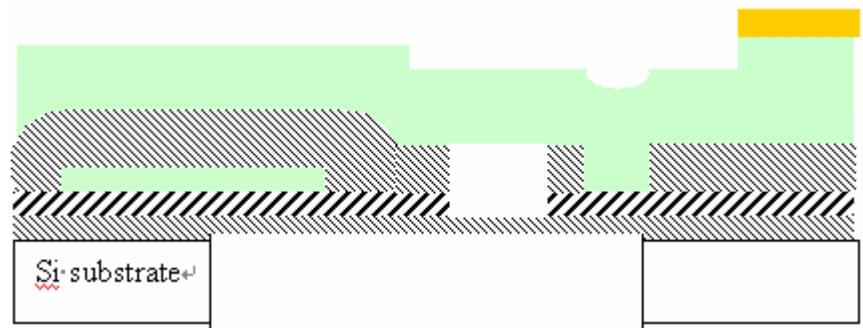
5. 以 LPCVD 法成長 PSG(3μm), 做為犧牲層

- 7. Mask2 微影及 PSG etching 定義上電極板支撐柱。
- 8. 以LPCVD法沈積POC1<sub>3</sub>-doped POLY(3μm),以做為支撐柱及上電極及質量塊。



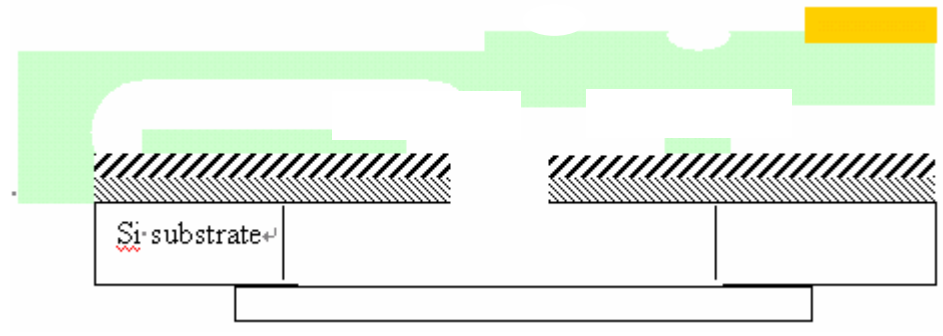
6. 以LPCVD法沈積POC1₃-doped POLY(3μm), 以做為支撐柱及上電極及質量塊

- 9. Mask3 微影及 ECR poly-Si etching 定義上層電極板及犧牲層蝕刻孔。
- 10. Mask5 微影及 Lift-off 製程定義金屬打線處。
- 11. 背後晶片蝕刻。



7. Mask5 微影及 Lift-off 製程定義金屬打線處

12. 以 BOE 溶液去除 PSG 犧牲層,打線及封裝。



8. 以 BOE 溶液去除 PSG 犧牲層,打線及封裝

## 肆、結 論

本論文設計之麥克風,主要為心音聽診器之用途,心音之頻率範圍主要在 20~2KHz,有別於一般人耳用途之麥克風 100~20KHz。而以 MEMS 技術開發的麥克風,因其量產容易及微小化之特點,將可能成為未來市場主流。本論文跳脫一般傳統的麥克風設計方向,大膽的創新思考,也佐以理論的公式推導,及實際的製程設計,開發一種低頻用途的可變頻矽晶麥克風。本設計未然完美,仍留有許多改進的空間,值得我們再努力。

# 伍、参考文獻

- 1. J. Bergqvist and F. Rudolf, A new condenser microphone in Silicon, Sensors and Actuators, A21-A23 (1990).
- 2. P.R. Scheeper, A.G.H. van der Donk, W. Olthuis, and P. Bergveld, A review of silicon microphones, Seensor and Actuators A, vol.44, pp1-11 (1994).
- 3. Q. Zou, Rongming Lin, Jianmin Miao, Silicon condenser microphone using corrugated diaphragm technique, J. Microelectro-mech. Syst. 5 (3)197-204 (1996).
- 4. Q. Zou, Rongming Lin, Jianmin Miao, Longqing Chen, Design considerations in micromachined silicon microphones, Microelectronic J. 33, 21-28 (2002).
- 5. W. J. Wang, R.M. Lin, Q.B. Zou and X.X. Li, Modeling and characterization of a silicon condenser microphone, J. Micromech. Microeng., 14, 403-409 (2004).